

## Proceeding Series of the Brazilian Society of Computational and Applied Mathematics

---

# Determinação de Parâmetros do Modelo de Streeter Phelps

Vitor José Petry<sup>1</sup>

Curso de Matemática, UFFS, *Campus* Chapecó, SC

Pedro Augusto Pereira Borges<sup>2</sup>

Curso de Matemática, UFFS, *Campus* Chapecó, SC

Fernando Augusto Brancher<sup>3</sup>

Curso de Matemática, UFFS, *Campus* Chapecó, SC

**Resumo.** O monitoramento da contaminação de rios é feito através da coleta e análise de amostras de água, cujos dados possibilitam a determinação de parâmetros de modelos matemáticos. Neste trabalho são apresentados os resultados de simulações numéricas para a resolução do problema inverso, visando a determinação dos coeficientes do modelo de Streeter Phelps, a partir de dados experimentais obtidos na literatura. Esse modelo consiste em duas equações diferenciais parciais acopladas, que relacionam as variáveis concentração de oxigênio dissolvido e demanda bioquímica de oxigênio, em função do espaço unidimensional e o tempo. O problema direto foi resolvido implementando o modelo com um método em diferenças finitas, enquanto que o problema inverso foi resolvido pelo método de procura em rede. Os resultados indicam uma correlação satisfatória entre os dados experimentais e as simulações, para os valores dos parâmetros obtidos pelo método proposto.

**Palavras-chave.** Modelo de Streeter Phelps, determinação de parâmetros, problema inverso, simulação numérica.

## 1 Introdução

A questão ambiental vem adquirindo importância à medida que cresce a conscientização da sociedade sobre a extensão e gravidade dos problemas advindos de alterações ambientais devido às ações humanas. A água é um dos recursos naturais essenciais para o desenvolvimento da vida no planeta, entretanto, sua poluição vem afetando os meios aquáticos e terrestre e colocando em risco a saúde e sobrevivência de diversas espécies. Quando um foco de poluição é lançado em um determinado rio, este tem uma capacidade própria de se recuperar ao longo do leito, de acordo com seu formato e vazão. O monitoramento da contaminação pode ser feito através de sondagem, com coleta de amostras e posterior análise em laboratório. Esse processo, normalmente, é de custo significativo e demorado. A técnica de simulação utilizando modelos matemáticos é uma alternativa de

---

<sup>1</sup>vitor.petry@uffs.edu.br

<sup>2</sup>pedro.boeges@uffs.edu.br

<sup>3</sup>fernando.brancher@hotmail.com

predição da concentração de poluentes em função do espaço e do tempo, desde que sejam conhecidos os parâmetros característicos (ou coeficientes do modelo utilizado) do meio em análise e dos elementos contaminantes.

O objetivo do presente trabalho é determinar os coeficientes do modelo de Streeter Phelps [1] a partir de dados experimentais obtidos na literatura [3], em um rio com características descritas pelo autor dos experimentos. As simulações foram realizadas a partir da implementação numérica das equações que compõe o modelo usando diferenças finitas, constituindo a determinação dos coeficientes, um problema inverso a ser resolvido pelo método de procura em rede.

## 2 Descrição do Modelo e Resolução Numérica

O modelo de autodepuração de Streeter Phelps foi desenvolvido por pesquisadores americanos em 1925 e busca determinar o tempo e/ou a distância de recuperação da qualidade da água, após a entrada de um efluente poluído à montante do rio. O modelo consiste num sistema de duas equações diferenciais parciais acopladas [1], mostradas nas equações (1) e (2):

$$\frac{\partial C}{\partial t} + U \frac{\partial C}{\partial x} = D_x \frac{\partial^2 C}{\partial x^2} + K_2(C_s - C) - K_1 L - D_B \quad (1)$$

$$\frac{\partial L}{\partial t} + U \frac{\partial L}{\partial x} = D_x \frac{\partial^2 L}{\partial x^2} - (K_1 + K_3)L + L_R \quad (2)$$

com  $x \in [0, X]$  e  $t \in [0, T]$  e condições de contorno  $C(0, t) = \Phi_1(t)$ ,  $C(X, t) = \Psi_1(t)$ ,  $L(0, t) = \Phi_2(t)$ ,  $L(X, t) = \Psi_2(t)$ .  $C$  é a concentração de oxigênio dissolvido ( $OD$ ),  $C_s$  é a saturação da concentração de  $OD$ ,  $x$  é a distância ao longo do rio,  $t$  é o tempo,  $U$  é a velocidade média do fluxo,  $D_x$  é o coeficiente de dispersão,  $D_B$  é um parâmetro que inclui o efeito da fotossíntese, respiração de plantas e remoção de oxigênio dissolvido no leito do rio,  $K_1$  é o coeficiente de desoxigenação,  $K_2$  é o coeficiente de reaeração,  $K_3$  é o coeficiente da taxa de remoção da DBO por sedimentação e adsorção,  $L$  é a demanda bioquímica de oxigênio ( $DBO$ ) e  $L_R$  é a taxa de adição de DBO ao longo do leito, incluindo a adição de  $DBO$  com escoamento, a difusão de resíduos parcialmente degradados do leito e a ressecção e ressuspensão dos depósitos do fundo. A partir desse modelo, inúmeros autores, dentre eles Sperling [4], sugeriram simplificações e adaptações empíricas na tentativa de obter soluções analíticas ou mesmo facilitar a obtenção de soluções numéricas para o problema.

Neste trabalho é obtida uma solução numérica do modelo completo, buscando ajustar os coeficientes das equações do sistema pela solução do problema inverso pelo Método de Procura em Rede. O problema direto foi resolvido pela discretização das equações (1) e (2) e suas respectivas condições de contorno, usando diferenças finitas progressivas de 1ª ordem na variável temporal e centradas de 2ª ordem na variável espacial. As condições de contorno foram obtidas por um ajuste polinomial de dados experimentais da literatura.

Após a discretização (considerando  $I$  intervalos espaciais e  $N$  intervalos temporais) e a aplicação das condições de contorno, o sistema dado pelas equações (1) e (2) resulta nas



Para a solução do problema considerou-se os valores de  $OD$  e  $DBO$  nos pontos  $D_1$  e  $D_3$  como condições de contorno de entrada e saída respectivamente, enquanto que os valores em  $D_2$  foram usados para ajustar os parâmetros, considerando como melhor solução a que resultasse no menor erro médio para as duas grandezas medidas. Devido as características da disposição dos dados experimentais em um gráfico de dispersão, optou-se por um ajuste polinomial dos valores da  $OD$  e da  $DBO$  para as condições de contorno, conforme mostrado na Figura 1. Já a condição inicial foi aproximada por interpolação entre dois pontos consecutivos.

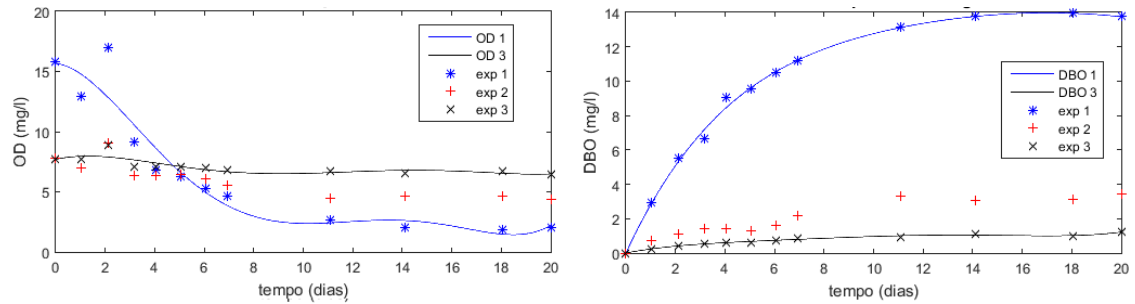


Figura 1: Dados experimentais da literatura [3] para  $OD$  (esquerda) e para  $DBO$  (direita) nas posições  $D_1$ ,  $D_2$  e  $D_3$  e ajuste polinomial das condições de contorno.

Para a solução do problema inverso, adotou-se o Método de Procura em Rede proposto por Borges, Cervi e Vione [2] que consiste em definir para cada parâmetro a ser estimado um intervalo que supostamente contenha um valor ótimo do parâmetro em questão, construindo então uma rede de intervalos particionados (um intervalo particionado para cada parâmetro). Com essa rede o problema direto é resolvido com todas as combinações possíveis dos valores que compõe a rede, fazendo a busca pelo menor erro de acordo com o critério estabelecido.

### 3 Resultados

A partir da implementação numérica das equações que compõe o problema proposto foram realizadas as simulações na busca dos coeficientes visando a otimização do modelo. O problema foi resolvido para  $x \in [0, X]$  e  $t \in [0, T]$ , com  $X = 17,46 \text{ km}$  e  $T = 20$  dias, conforme condições dos dados experimentais e velocidade média de fluxo  $U = 5,616 \text{ km.d}^{-1}$ . O intervalo espacial foi particionado em  $I = 30$  subintervalos e o temporal em  $T = 400$  subintervalos de forma a garantir a estabilidade do método numérico, considerando as possíveis variações dos parâmetros que possam influenciar a estabilidade. Durante as simulações identificou-se a necessidade de variar o valor do parâmetro  $L_R$  ao longo do tempo. Pelas características da contribuição desse parâmetro no resultado do ajuste optou-se em escrever esse parâmetro na forma:

$$L_R = a_0 \ln(1 + a_1 t) + a_2 \tag{8}$$

sendo  $a_0$ ,  $a_1$  e  $a_2$  também parâmetros a serem determinados. A inclusão desses parâmetros permitiu um ajuste mais refinado, com erro de aproximação significativamente menor em relação às simulações em que considerou-se  $L_R$  um parâmetro constante. A escolha dessa função se deu pelo tipo de comportamento da curva ao observar a necessidade de menor influência do parâmetro  $L_R$  no início das simulações com gradativo aumento dessa influência ao longo do tempo, o que está bem descrito no comportamento da função dada na equação (8). Do ponto de vista físico, essa equação sugere gradativa elevação na taxa de adição de  $DBO$  no fundo do leito ao longo do tempo. Observou-se ainda que para os parâmetros  $D_x$  e  $D_B$ , variações dentro do “intervalo ótimo” no particionamento inicial (intervalos mais espaçados) produziam efeitos desprezíveis nos resultados das simulações, o que permitiu fixar seus valores (Tabela 1), diminuindo dessa forma a quantidade de parâmetros a serem ajustados nos refinamentos mais finos.

Os resultados obtidos a partir dos ajustes efetuados são apresentados na Tabela 1. Considera-se o melhor ajuste o que fornece o menor valor do erro absoluto médio entre a solução obtida na simulação pelo modelo e os dados experimentais para as duas grandezas calculadas nos doze momentos de coleta apresentados na literatura [3]. O valor desse erro médio na obtenção dos parâmetros mostrados na Tabela 1 foi de  $1,59 \cdot 10^{-2}$ . O tempo de processamento para a solução do problema inverso quando considerada uma rede com dez intervalos para cada parâmetro ajustado no refinamento foi de 10 horas e 33 minutos. Nas Figuras 2 e 3 são mostrados os resultados da solução das equações do modelo (equações (1) e (2)) com os coeficientes ajustados para os valores da  $OD$  e  $DBO$ , respectivamente ao longo do tempo em diferentes posições do rio, sendo  $D_2$  a posição em que foram obtidos os dados experimentais.

Tabela 1: Parâmetros ajustados na resolução do problema inverso.

Coefficiente	$K_1$	$K_2$	$K_3$	$D_x$	$D_B$	$a_0$	$a_1$	$a_2$
Valor	1,10	1,25	0,05	2,25	0,00	0,50	0,45	0,70

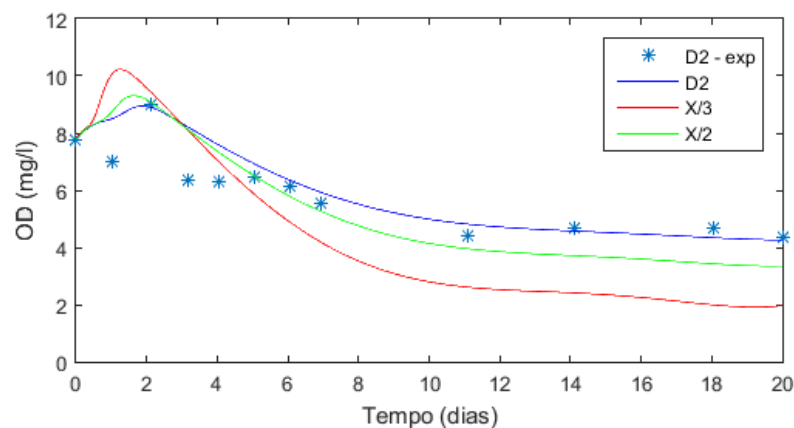


Figura 2: Curvas da  $OD$  em função do tempo nas posições  $D_2$ ,  $\frac{X}{2}$  e  $\frac{X}{3}$  do leito do rio e dados experimentais da  $OD$  na posição  $D_2$ .

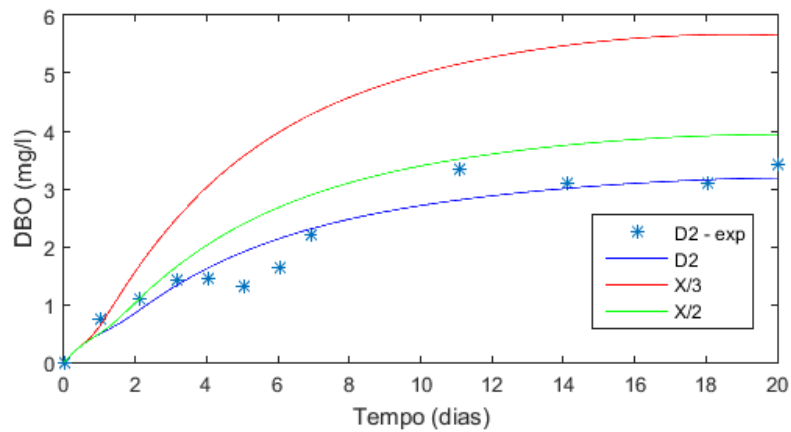


Figura 3: Curvas da  $DBO$  em função do tempo nas posições  $D_2$ ,  $\frac{X}{2}$  e  $\frac{X}{3}$  do leito do rio e dados experimentais da  $DBO$  na posição  $D_2$ .

Observa-se nestas figuras boa aproximação das curvas obtidas nas simulações numéricas com os dados experimentais, o que sugere que o modelo descreve de forma satisfatória o fenômeno físico retratado nos dados. Ao analisarmos a Figura 2, percebemos que na sequência de dados experimentais na posição  $D_2$ , o terceiro ponto difere significativamente do restante da sequência (“ponto fora da curva”) o que também é observado nas condições de fronteira no mesmo dia (Figura 1). Embora não conhecendo o que motivou essa alteração na obtenção do dado experimental, observamos que o modelo foi sensível a essa alteração, o que mostra sua capacidade de adequação aos dados fornecidos no momento do ajuste dos parâmetros. Um reflexo desse fenômeno também é observado de forma suave na curva relativa à  $DBO$  na posição  $D_2$  da Figura 3 na vizinhança do segundo dia do experimento.

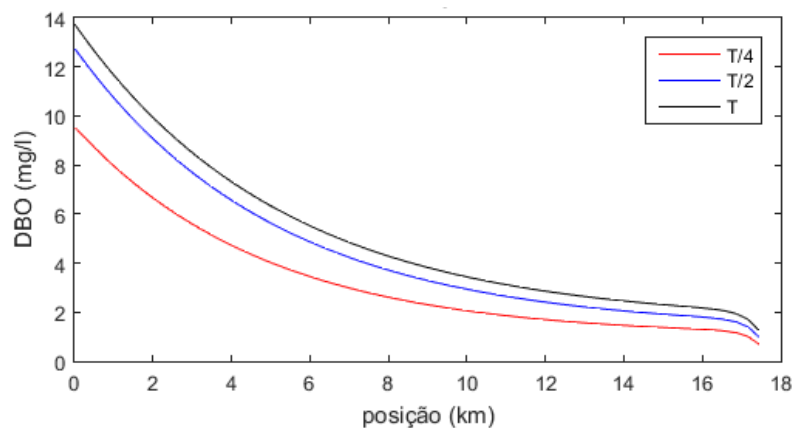


Figura 4: Curvas da  $DBO$  em função da posição no leito do rio relativo aos tempos  $\frac{T}{4}$ ,  $\frac{T}{2}$  e  $T$ .

Na Figura 4 são apresentadas as curvas da  $DBO$  em função da posição ao longo do

leito do rio para três “cortes” na variável temporal. Observa-se um caimento acentuado próximo à posição final, possivelmente pela necessidade da curva se ajustar à condição de contorno neste local. Isto nos sugere a importância de se aumentar os pontos de coleta de dados ao longo do rio para conseguir maior segurança na descrição dos dados pelo modelo para o caso em que se pretende fazer projeções a partir do modelo. Observa-se que além das condições de contorno, havia a disposição de dados experimentais apenas para uma posição intermediária, o que justifica esse tipo de comportamento observado nas curvas.

## 4 Considerações Finais

O modelo de Streeter Phelps mostrou-se bastante adequado para descrever o problema proposto na tentativa de prever as concentração de oxigênio dissolvido e da demanda bioquímica de oxigênio, elementos fundamentais para a determinação da qualidade da água em um rio. Observa-se que com a disponibilidade atual de recursos computacionais já é possível trabalhar com o modelo completo, sem a necessidade de realizar excessivas simplificações ou geração de modelos totalmente empíricos. Por outro lado, ressalta-se a importância de coletar dados em mais posições do rio, a fim de garantir que os parâmetros ajustados descrevam com maior segurança as situações reais ao longo de todo o domínio, quando da utilização do modelo para previsões a serem usadas no planejamento de ações de cunho ambiental.

## Agradecimentos

O desenvolvimento desta pesquisa teve o apoio da FAPESC através do projeto de pesquisa aprovado no Edital de Chamada Pública 07/2015.

## Referências

- [1] J. P. Bennett and R. E. Rathbun. *Reaeration in Open-Channel Flow*. U.S. Government Printing Office, Washington, 1972.
- [2] P. A. P. BORGES, A. CERVI, M. T. VIONE. Determinação dos parâmetros da equação de Van Genutchen usando problema inverso em um problema de evaporação. *In: VIII ERMAC*, Pelotas, Rio Grande do Sul, Brasil, 2008.
- [3] T. A. Formentini. Coeficientes de desoxigenação e de reaeração superficial em trechos do rio Vacacaí Mirim, Dissertação de Mestrado em Engenharia Civil, UFSM, 2010.
- [4] M. V. Sperling. *Estudo e modelagem da qualidade da água dos rios*. UFMG, Belo Horizonte, 2005.